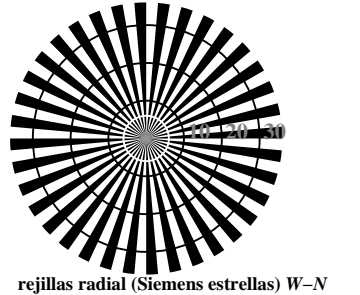
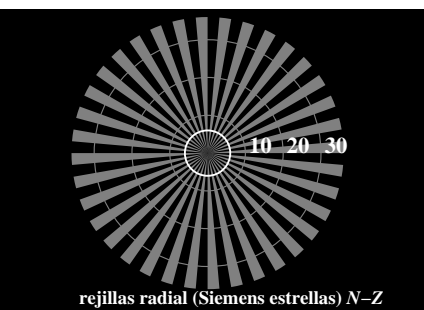




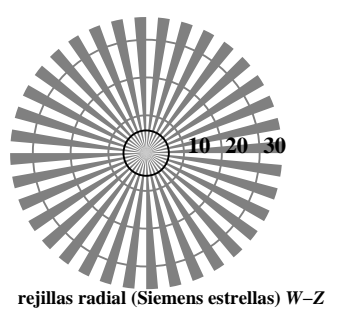
rejillas radial (Siemens estrellas) N-W



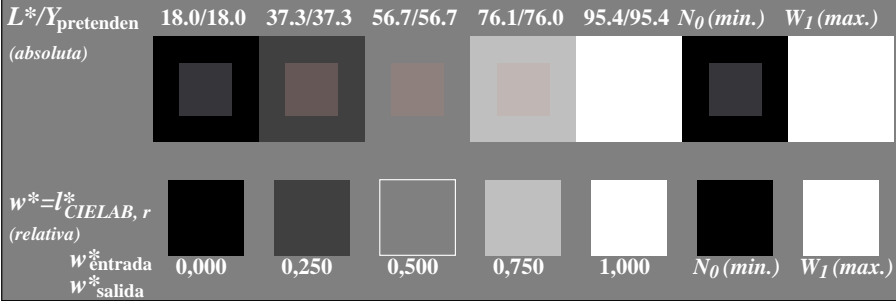
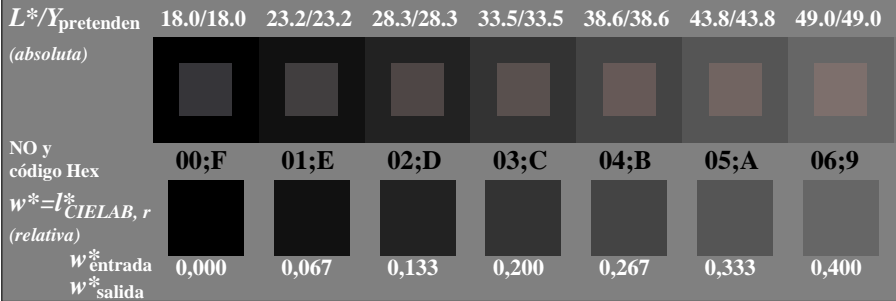
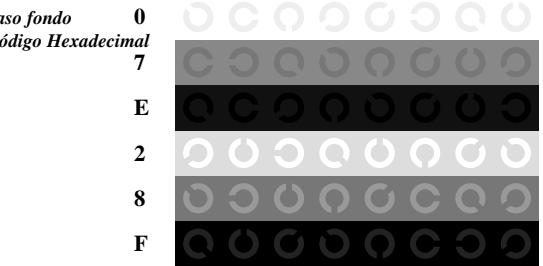
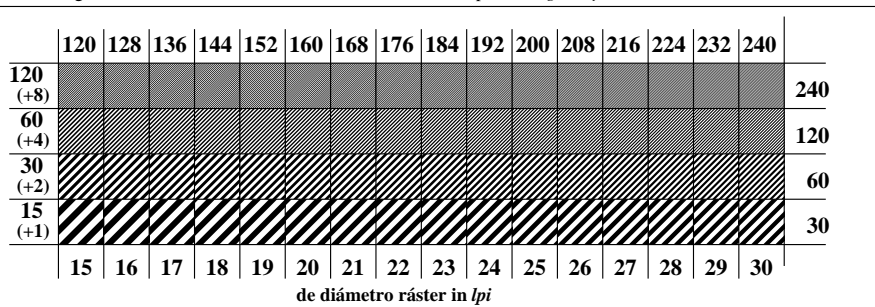
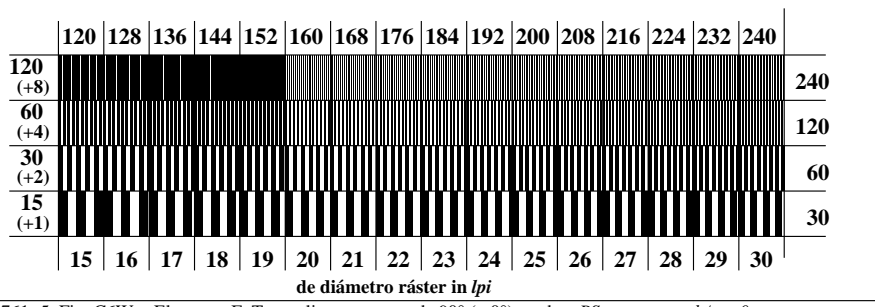
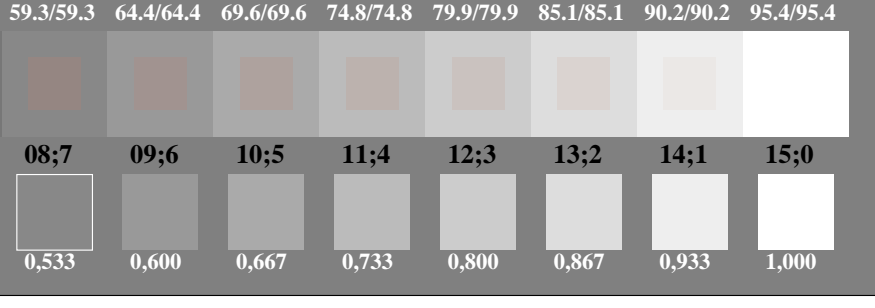
rejillas radial (Siemens estrellas) W-N

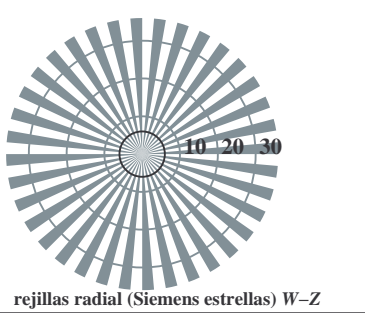
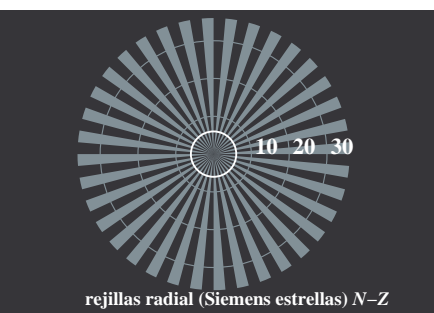
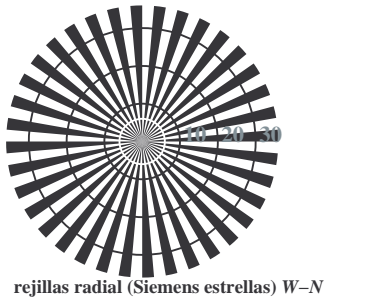
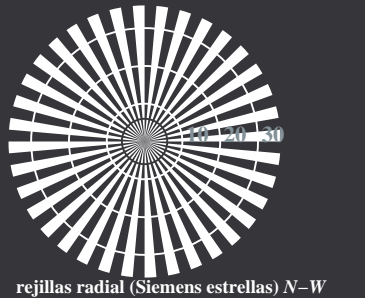


rejillas radial (Siemens estrellas) N-Z



rejillas radial (Siemens estrellas) W-Z

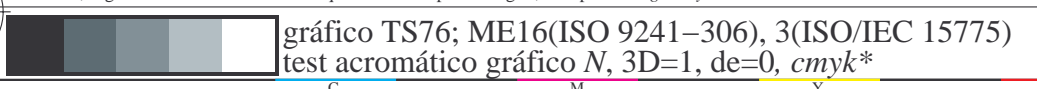
TS760-3, Fig. C1W-: Elemento A: rejillas radial N-W, W-N, N-Z y W-Z; PS operator: *rgb/cmy0*TS760-5, Fig. C2W-: Elemento B: 5 equidistantes L^* pasos de gris + N_0 + W_I ; PS operator: *rgb/cmy0*TS760-7, Fig. C3W-: Elemento C: 16 equidistantes L^* pasos de gris; PS operator: *rgb/cmy0*TS761-1, Fig. C4W-: Elemento D: anillos de Landolt W-N; PS operator: *rgb/cmy0*TS761-3, Fig. C5W-: Elemento E: Trama linea menores de 45° (o 135°) grados; PS operator: *rgb/cmy0*TS761-5, Fig. C6W-: Elemento F: Trama linea menores de 90° (o 0°) grados; PS operator: *rgb/cmy0*entrada: *rgb/cmyk* → *rgb/cmyk*
salida: ningún cambiografico TS76; ME16(ISO 9241-306), 3(ISO/IEC 15775)
test acromático grafico N

TS760-3, Fig. C1Wdd: Elemento A: rejillas radial N-W, W-N, N-Z y W-Z; PS operator: *rgb/cmy0*

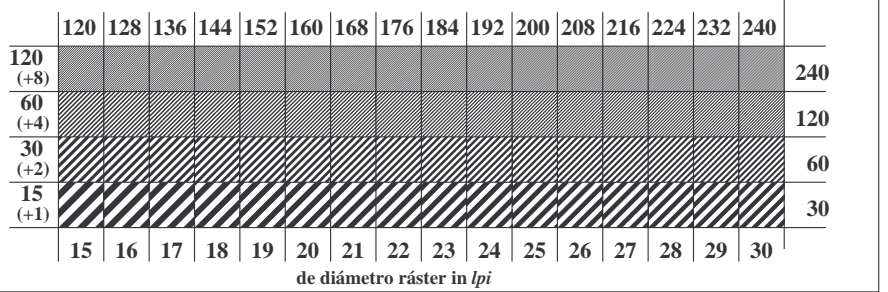
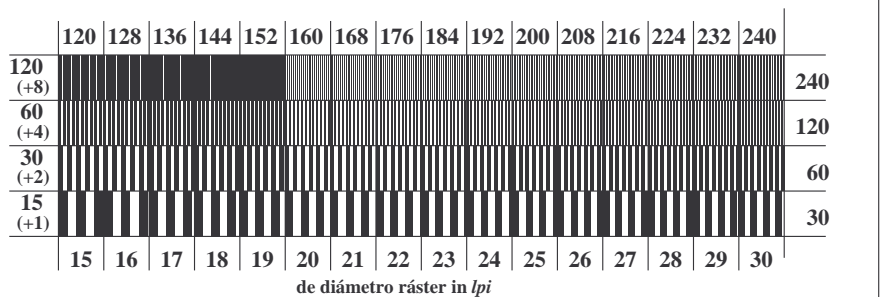
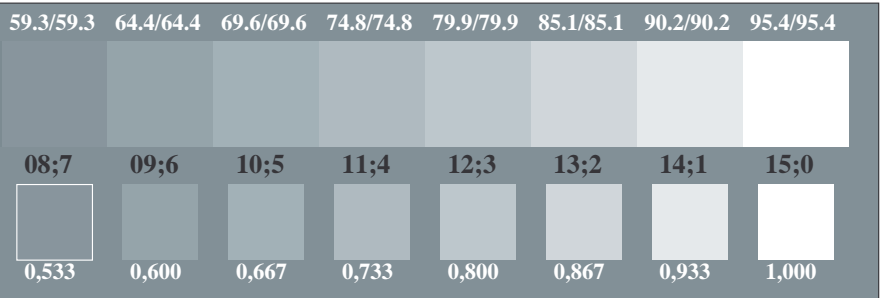
$L^*/Y_{\text{pretenden}}$ (absoluta)	18.0/18.0	37.3/37.3	56.7/56.7	76.1/76.0	95.4/95.4	N_0 (min.)	W_I (max.)
$w^* = l^*_{\text{CIELAB}, r}$ (relativa)							
w^*_{entrada}	0,000	0,250	0,500	0,750	1,000	N_0 (min.)	W_I (max.)
w^*_{salida}							

TS760-5, Fig. C2Wdd: Elemento B: 5 equidistantes L^* pasos de gris + $N_0 + W_I$; PS operator: *rgb/cmy0*

$L^*/Y_{\text{pretenden}}$ (absoluta)	18.0/18.0	23.2/23.2	28.3/28.3	33.5/33.5	38.6/38.6	43.8/43.8	49.0/49.0	54.1/54.1	59.3/59.3	64.4/64.4	69.6/69.6	74.8/74.8	79.9/79.9	85.1/85.1	90.2/90.2	95.4/95.4
NO y código Hex	00;F	01;E	02;D	03;C	04;B	05;A	06;9	07;8	08;7	09;6	10;5	11;4	12;3	13;2	14;1	15;0
$w^* = l^*_{\text{CIELAB}, r}$ (relativa)																
w^*_{entrada}	0,000	0,067	0,133	0,200	0,267	0,333	0,400	0,467	0,533	0,600	0,667	0,733	0,800	0,867	0,933	1,000
w^*_{salida}																

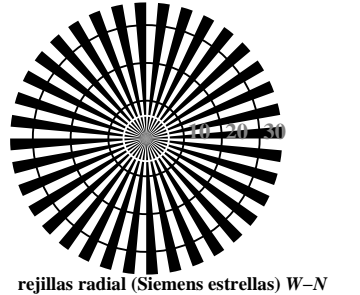
TS760-7, Fig. C3Wdd: Elemento C: 16 equidistantes L^* pasos de gris; PS operator: *rgb/cmy0*

paso fondo Código Hexadecimal	0	1	paso del anillo Código Hexadecimal	0-1
7	8	7-8	E-F	E-F
E	F		0	2-0
2	8		6	8-6
8	F		D	F-D

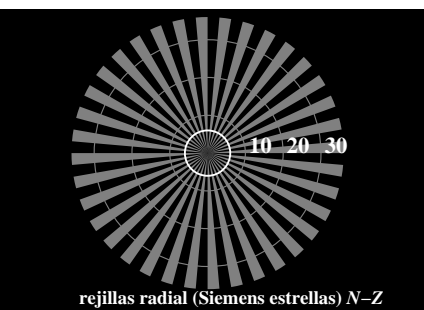
anillos de Landolt W-N
código: fondo-paso del anilloTS761-1, Fig. C4Wdd: Elemento D: anillos de Landolt W-N; PS operator: *rgb/cmy0*TS761-3, Fig. C5Wdd: Elemento E: Trama línea menores de 45° (o 135°) grados; PS operator: *rgb/cmy0*TS761-5, Fig. C6Wdd: Elemento F: Trama línea menores de 90° (o 0°) grados; PS operator: *rgb/cmy0*entrada: *rgb/cmyk* → *rgbdd*
salida: 3D-linealización a *cmyk**_{dd}



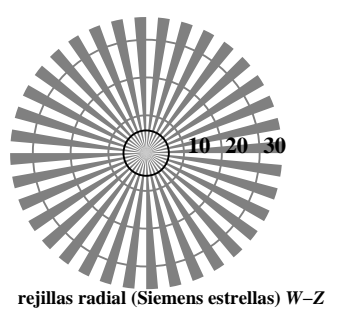
rejillas radial (Siemens estrellas) N-W



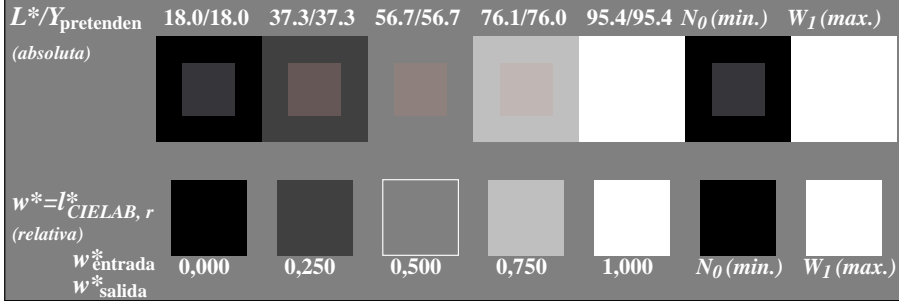
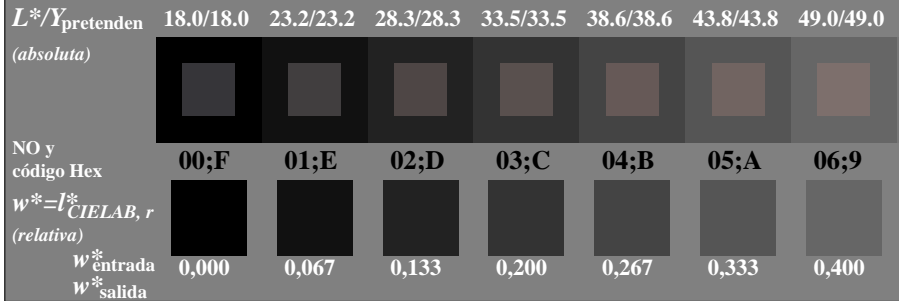
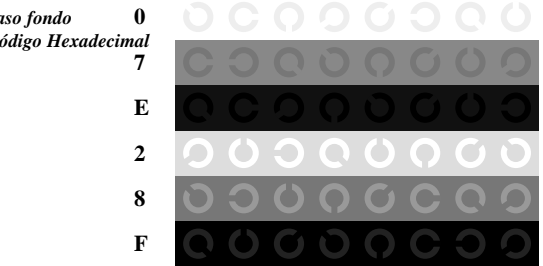
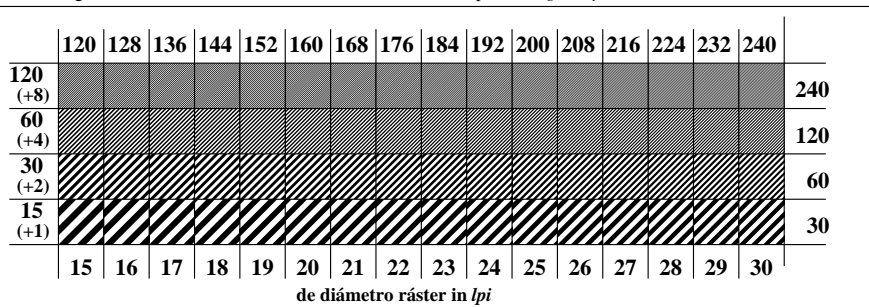
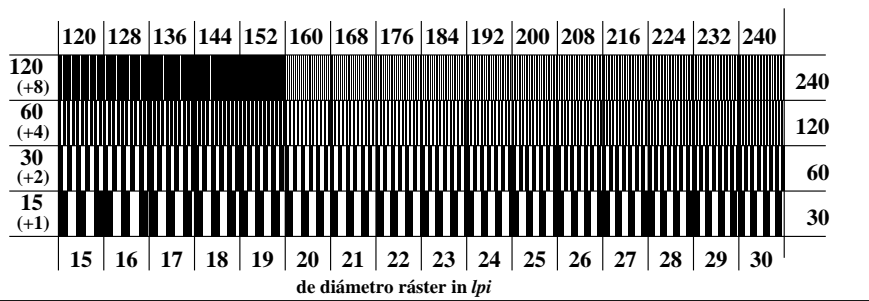
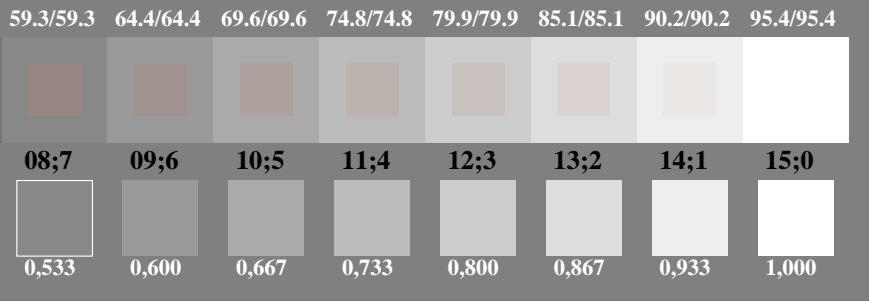
rejillas radial (Siemens estrellas) W-N



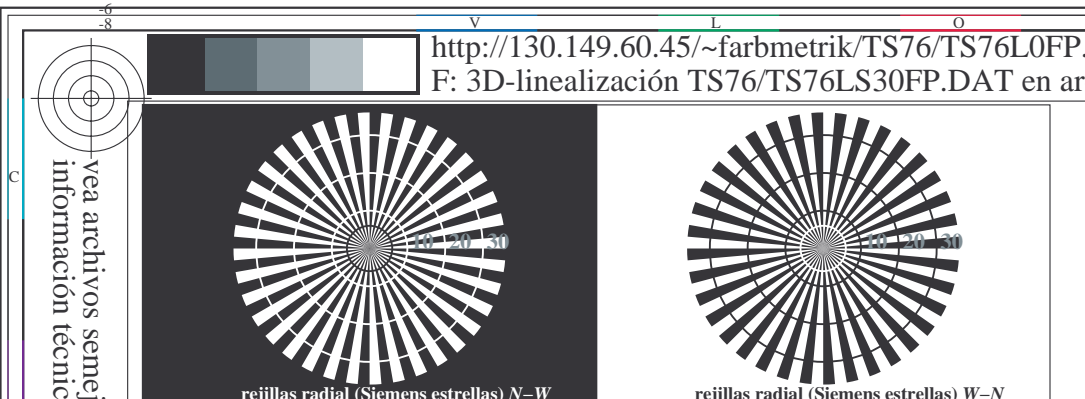
rejillas radial (Siemens estrellas) N-Z



rejillas radial (Siemens estrellas) W-Z

TS760-3, Fig. C1W-: Elemento A: rejillas radial N-W, W-N, N-Z y W-Z; PS operator: *rgb/cmy0*TS760-5, Fig. C2W-: Elemento B: 5 equidistantes L^* pasos de gris + N_0 + W_I ; PS operator: *rgb/cmy0*TS760-7, Fig. C3W-: Elemento C: 16 equidistantes L^* pasos de gris; PS operator: *rgb/cmy0*TS761-1, Fig. C4W-: Elemento D: anillos de Landolt W-N; PS operator: *rgb/cmy0*TS761-3, Fig. C5W-: Elemento E: Trama linea menores de 45° (o 135°) grados; PS operator: *rgb/cmy0*TS761-5, Fig. C6W-: Elemento F: Trama linea menores de 90° (o 0°) grados; PS operator: *rgb/cmy0*

entrada: *rgb/cmyk* → *rgb/cmyk*
salida: ningún cambio



<http://130.149.60.45/~farbmefrik/TS76/TS76L0FP.PDF> / .PS; 3D-linealización F: 3D-linealización TS76/TS76LS30FP.DAT en archivo (F), página 2/2

TS7611L

rejillas radial (Siemens estrellas) *N-W*

rejillas radial (Siemens estrellas) W-N

rejillas radial (Siemens estrellas) N-Z

rejillas radial (Siemens estrellas) W-Z

TS760-3, Fig. C1Wde: Elemento A: rejillas radial $N-W$, $W-N$, $N-Z$ y $W-Z$; PS operator: $rgb/cmy0$

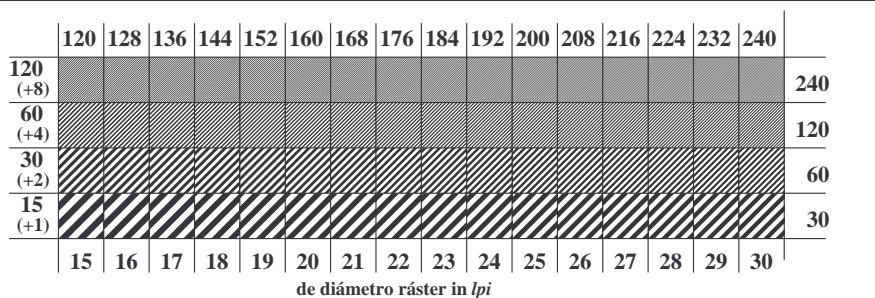
TS760-5, Fig. C2Wde: Elemento B: 5 equidistante L^* pasos de gris + NO + WI; PS operator: *rgb/cmy0*

TS760-7, Fig. C3Wde: Elemento C: 16 equidistantes L^* pasos de gris; PS operator: *rgb/cmy0*

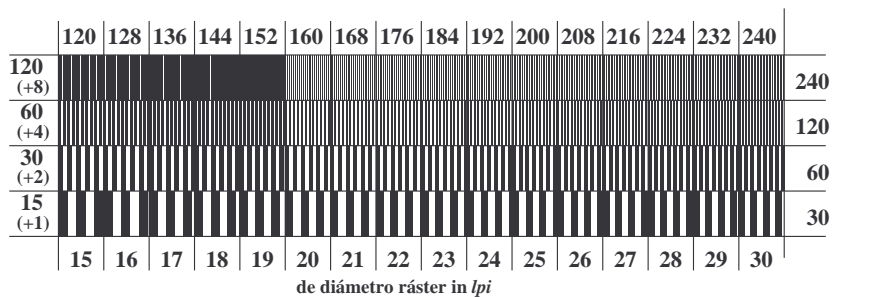
gráfico TS76; ME16(ISO 9241-306), 3(ISO/IEC 15775)
test acromático gráfico N , 3D=1, de=1, cmyk*

<i>uso fondo</i>	0		1	<i>paso del anillo</i>	0-1
<i>código Hexadecimal</i>	7		8	<i>Código Hexadecimal</i>	7-8
	E		F		E-F
	2		0		2-0
	8		6		8-6
	F		D		F-D
anillos de Landolt W-N					
<i>código: fondo-paso del anillo</i>					

S761-1, Fig. C4Wde: Elemento D: anillos de Landolt W-N; PS operator: *rgb/cmy0*



TS761-3, Fig. C5Wde: Elemento E: Trama linea menores de 45° (o 135°) grados; PS operator: *rgb/cmy0*



S761-5, Fig. C6Wde: Elemento F: Trama linea menores de 90° (o 0°) grados; PS operator: *rgb/cm y0*

TUB material: code=rha4ta
ción cmyn6* (CMY0)

Entrada: $rgb/cmyk \rightarrow rgb_{de}$
Salida: 3D-linealización a $cmyk^*_{de}$